

○ 埼玉大学 正会員 吉中龍之進
 , " 小野寺 透
 中央開発 " 橋山 直樹

1. 概要

花こう岩が風化しマサ状になった層位置の風化花こう岩の強度的特性は、乱さない試料の採取が極めて困難であるため、まだあまり明らかにされてはいない。しかしこの種の材料から得る地盤は、良質な基礎地盤ではあるが高い圧縮性や粒子破碎性、あるいは著しく表面侵食に弱いなど特異な性質などがあるので、乱さない試料についての力学的性質を知る必要がある。本研究はこの様な性質を用いるために乱さない試料を用いて広範な三軸圧縮応力下におけるせん断強度を調べたものである(変形性については別途報告する)。

2. 試料および実験方法

試料は広島県豊田郡瀬戸田町(生口島)垂木の切取斜面(高さ約20m)および早稲地帯の本四公路調査橋杭(沈口なら約8m)から極めて慎重にストレートエッジで切出した。切出しに際しては2割りの塩ど管で試料の崩壊を防ぎ、切出し後直ちに生ゴムスリーブを巻いて試料端を石膏で固めた。大学の試料の搬入は人力運搬とした。試料は直径10cm, 高さ20cmのほぼ完全な円筒とすることができた。

三軸圧縮試験は、飽和試料による圧密排水せん断で、せん断速度は毎分0.05%。圧密時間は2時間を標準としたが、一次圧密はほとんど10分30分で終了している。試料は、いずれも砂状段階の風化で、採取地別に3種類T₁, T₂およびHに分けた。各試料の物理的性質は、下記のようである。

物理性質	T ₁	T ₂	H
比重	2.66	2.66	2.65
空隙率%	38.2	36.4	26.8
微細孔隙%	2.73	2.82	1.31

三軸圧縮は $\sigma_2 = \sigma_3$ の等方向圧縮で、拘束圧は3~200kg/cm²とした。実験結果および考察

最大軸荷重はT₁, T₂試料と軸ひずみひびが10%前後で、またHはひびが5%前後で達した。この間の軸ひずみ体積から求めた変形挙動は別に報告する。最大軸荷重は、

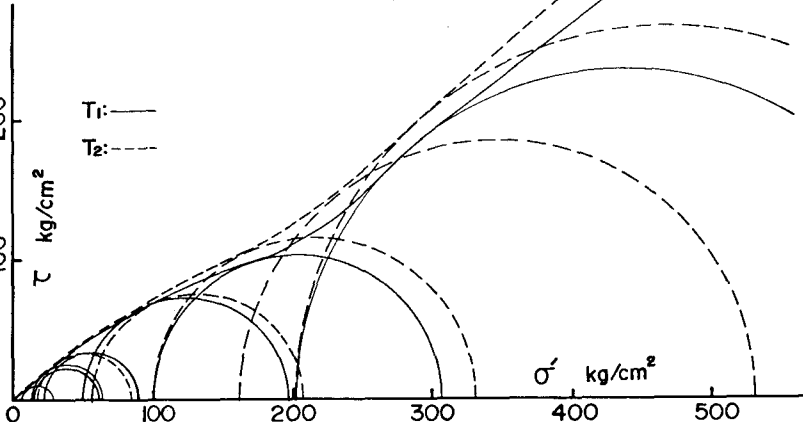
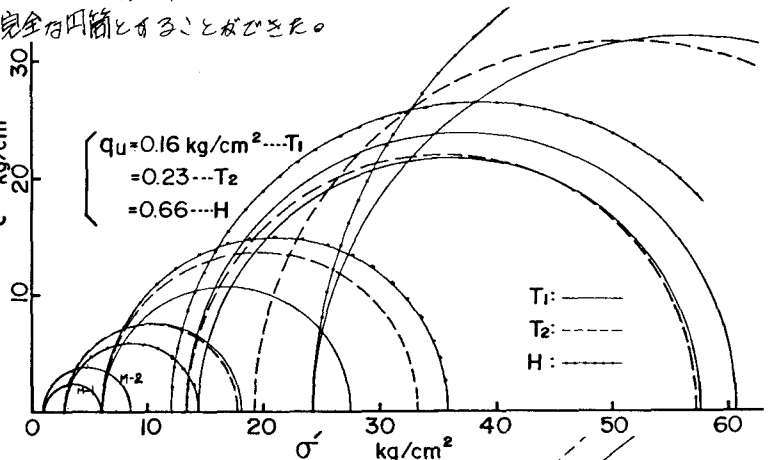


図1 (a)及び(b), モールの破壊応力円表示 (a)は低応力領域, (b)は全応力領域を示す)

ほとんどの試料ではわずかにピークを示し、以後はほぼフラットの完全塑性状の変形を示した。破壊荷重からモールの応力円を求めたものが図1(A),(B)である。(A)は低応力段階を(B)は全域を示したものである。最低の応力を σ_3 としたのでさらに低圧域の状態をみるため、風化程度がほぼ同じと考えられる乱さない試料の大型三軸試験結果を示した。図1(A),(B)から破壊包絡線の特徴として、①低圧領域における拘束圧にともなうせん断抵抗角の低下、②高圧領域におけるせん断抵抗角の増大の2点をあげることができる。

①は原岩近辺の物へ σ_3 から風化度に応じて σ_3 が30%程度まで35°(下)ないし40°(上)まで順次、放物線状に低下、さらに100%まで約30°となる。この低下は主として破壊時ダイレイタンスの低下によると考えられるが全体積変化で表示した図2の体積変化では10%以下の側圧下でのみ E_1 の進行にしたがって膨張に転じている。しかしこの場合の破壊時には正の dilatancy rateを示さない。これは破壊が薄いせん断帯のみに生じていること、及び全体積が大きいことにより破壊面での現象は体積変化として捕えにくくなることによると考えられる。

拘束圧が1/50%を起ると抵抗角は立上る。これは砂、砂礫において見出されているのと同様の現象と考えられる。マサにおいて高圧下で硬い粒子の結合が促進され、またこの粒子の破壊が貢献したと考えられる。

図3に間隙率が30~40%のマサの全試験結果を平均応力とせん断応力の関係で両対数表示した。包絡線の非線形性、および広範な応力範囲を平均的に $\beta_f = 0.86$ $(\frac{\sigma'_1 + \sigma'_3}{2})^{\beta_f} = q'_f$ で比較的精度良く表示できることが判る。

4. あとがき

花こう岩の風化進行に伴う強度低下が主として

結晶粒子の分離により生じ、その変化は粘着成分に著しい。しかしマサ状風化に至ると、その弛みに加えて粗化粒子が混存し、せん断強度が本報告で述べた応力依存性の強いC- ϕ 関係となることが判った。最後に実験に際して多大の協力をえた鈴木茂樹、竹岡豊君に厚くお礼申し上げる。

参考文献：1) 若中、鈴木、竹岡(1976)第31回土木年鑑Ⅲ-3-6, 2) 庄野、他(1975), 工と基礎vol.23, No.2, 3) Lee, Seed(1967), ASCE, SM6, 4) TAKENAKA(1974), Proc. IAEG, 5) 小野寺、若中、小田(1976)第10回岩盤力学に関するシンポジウム

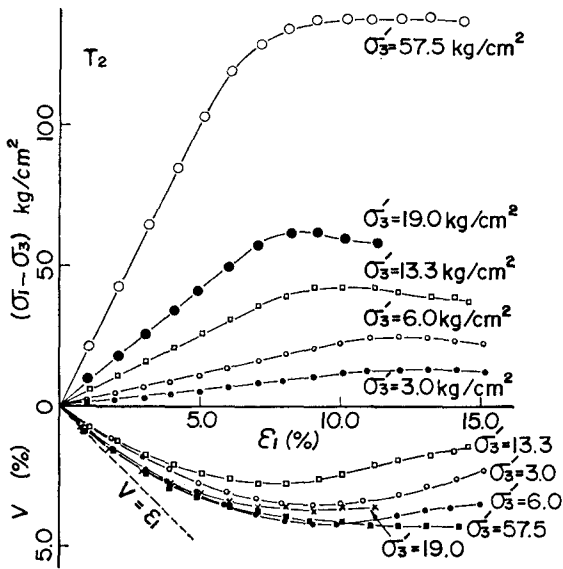


図2, T2試料(n=36.4%)の応力-ひずみ関係

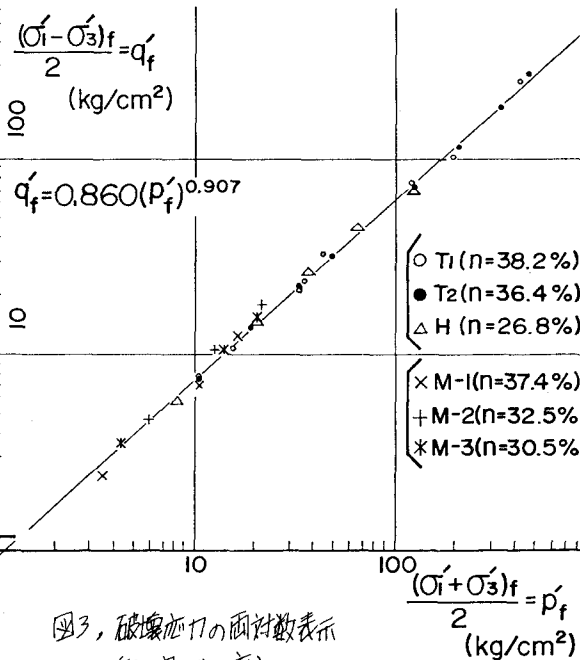


図3, 破壊応力の両対数表示 (n: 間隙率)